

ANÁLISIS DE ESTABILIDAD Y SIMULACIÓN NUMÉRICA DEL SISTEMA
PRESA-DEPREDADOR CON RESPUESTAS FUNCIONALES DE TIPO II DE HOLLING PARA
PRESAS ADULTAS

Daniel Machado
Daniel Toledo
Osvaldo Moreno
José A. Concepción
Adrián Navarro
C211

Mayo 2023

Defensa del proyecto final.

Facultad Matemática Computación
Universidad de La Habana

El artículo titulado "Local Analysis of the Prey-Predator Model with Stage-Structure Prey and Holling Type Functional Responses" por Dian Savitri analiza el modelo presa-depredador utilizando respuestas funcionales de Holling de tipo II para presas adultas y tipo I para presas jóvenes.

- Analizar los resultados del artículo
- Determinar los puntos de equilibrio del modelo.
- Analizar la estabilidad local de los puntos de equilibrio utilizando la matriz jacobiana y valores propios.
- Observar el comportamiento dinámico del modelo mediante simulaciones numéricas.

- Análisis matemático para determinar los puntos de equilibrio y condiciones de estabilidad.
- Cálculo de la matriz jacobiana y valores propios en cada punto de equilibrio.
- Aplicación del Criterio de Routh-Hurwitz para analizar la estabilidad del equilibrio interior.
- Simulaciones numéricas utilizando el método Runge-Kutta de cuarto orden.
- Análisis de bifurcación para estudiar la posible existencia de ciclos límite.

El artículo analiza previamente tres modelos matemáticos que abordan las interacciones presa-depredador con diferentes enfoques. Se definen $x(t)$, $y(t)$ y $z(t)$ como la densidad de la población de presas jóvenes, presas adultas y depredadores respectivamente.

MODELO MATEMÁTICO

$$\begin{aligned}\frac{dx}{dt} &= rx \left(1 - \frac{x}{k}\right) - \beta x - \alpha xz \\ \frac{dy}{dt} &= \beta x - \frac{\eta yz}{y + m} - \mu y \\ \frac{dz}{dt} &= \alpha_1 xz + \rho z^2 - \frac{\eta_1 z^2}{y + m}\end{aligned}\tag{1}$$

HOLLING TIPO I

Expresa la existencia de un aumento lineal en la tasa de captura del depredador con respecto a la densidad de presas, hasta alcanzar el valor en el que la tasa máxima de depredación permanece constante. Esta respuesta funcional es una función continua por partes, con una sección lineal y una sección constante.

HOLLING TIPO II

Expresa un aumento en el consumo que se desacelera a medida que aumentan las presas consumidas, alcanzando la tasa máxima de consumo de depredadores de forma asintótica. La respuesta funcional de Holling tipo II es monotóna creciente, lo que significa que la tasa de consumo de los depredadores aumenta con la densidad de presas.

Los puntos de equilibrio estan dados por aquellos que satisfagan la igualdad:

$$\frac{dx}{dt} = \frac{dy}{dt} = \frac{dz}{dt} = 0$$

POSTULADOS

Haciendo los cálculos pertinentes se obtienen como resultado los siguientes valores. $E_1 = (0,0,0)$, $E_2 = (\frac{k(r-\beta)}{r}, \frac{\beta k(r-\beta)}{\mu r}, 0)$ y $E_3 = (x^*, y^*, z^*)$.

$$J(x, y, z) = \begin{bmatrix} r - \frac{2rx}{k} - \beta - \alpha z & 0 & -\alpha x \\ \beta & -\frac{\eta z}{y+m} + \frac{\eta yz}{(y+m)^2} - \mu & -\frac{\eta y}{y+m} \\ \alpha_1 z & \frac{\eta_1 z^2}{(y+m)^2} & 2\rho z - \frac{2\eta_1 z}{y+m} + \alpha_1 x \end{bmatrix}$$

Al evaluar la matriz jacobiana en E_1 obtuvimos:

Resultados obtenidos	Resultado de Savitri
$J(E_1) = \begin{bmatrix} r - \beta & 0 & 0 \\ \beta & -\mu & 0 \\ 0 & 0 & 0 \end{bmatrix}$	$J(E_1) = \begin{bmatrix} (-1 + r) & 0 & 0 \\ \beta & -\mu & 0 \\ 0 & 0 & 0 \end{bmatrix}$

$$\begin{vmatrix} r - \beta - \lambda & 0 & 0 \\ \beta & -\mu - \lambda & 0 \\ 0 & 0 & 0 - \lambda \end{vmatrix} = (r - \beta - \lambda)(\mu - \lambda)(\lambda) = 0$$

Los valores propios de la matriz $J(E_1)$ son: $\lambda_1 = r - \beta$ (el cual puede ser negativo si $\beta > r$), $\lambda_2 = -\mu$ y $\lambda_3 = 0$. Por lo tanto, el punto de equilibrio E_1 es inestable.

Para el punto E_2 tenemos:

$$\begin{vmatrix} (\beta - r) - \lambda & 0 & \frac{\alpha k(\beta - r)}{r} \\ \beta & -\mu - \lambda & \frac{\eta \beta k(\beta - r)}{r\mu \left(\frac{\beta k(r - \beta)}{\mu r} + m \right)} \\ 0 & 0 & -\frac{\alpha_1 k(\beta - r)}{r} - \lambda \end{vmatrix} = 0$$

Los valores propios de la matriz $J(E_2)$ son $\lambda_1 = \beta - r$, $\lambda_2 = -\mu$ y $\lambda_3 = -\frac{\alpha_1 k(\beta - r)}{r}$. El autor plantea que E_2 es estable bajo la condición $r > \beta$. Sin embargo, si $r > \beta$ entonces $-\frac{\alpha_1 k(\beta - r)}{r} > 0$ por lo que el punto de equilibrio E_2 es inestable.

Para E_3 tenemos la siguiente matriz jacobiana:

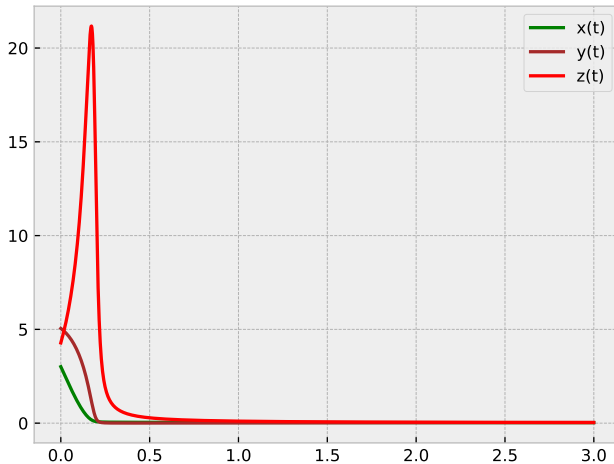
$$J(x^*, y^*, z^*) = \begin{bmatrix} r - \frac{2rx^*}{k} - \beta - \alpha z^* & 0 & -\alpha x^* \\ \beta & -\frac{\eta z^*}{y^* + m} + \frac{\eta y z^*}{(y^* + m)^2} - \mu & -\frac{\eta y^*}{y^* + m} \\ \alpha_1 z^* & \frac{\eta_1 z^{*2}}{(y^* + m)^2} & 2\rho z^* - \frac{2\eta_1 z^*}{y^* + m} + \alpha_1 x^* \end{bmatrix}$$

PUNTOS DE EQUILIBRIO Y ESTABILIDAD LOCAL

Puntos de Equilibrio	Estabilidad Local
$E_1 = (0, 0, 0)$	Inestable
$E_2 = \left(\frac{k(r-\beta)}{r}, \frac{\beta k(r-\beta)}{\mu r}, 0 \right)$	Inestable
$E_3 = (x^*, y^*, z^*)$	Asintóticamente estable

[b]0.5

S1[3.01 5.05 4.28]



[b]0.5

- Este estudio proporciona una comprensión más profunda de las complejas interacciones entre los depredadores y sus presas en los ecosistemas naturales.
- Hemos aprendido a resolver sistemas de ecuaciones diferenciales utilizando diferentes métodos numéricos, como el método de Euler o el método de Runge-Kutta.
- Hemos estudiado la estabilidad de sistemas dinámicos, utilizando técnicas como el análisis de estabilidad lineal y el método de Routh-Hurwitz, y hemos desarrollado habilidades investigativas, como la capacidad de buscar y analizar información relevante, trabajar en equipo, elaborar y presentar informes técnicos, y utilizar herramientas matemáticas y de programación para resolver problemas.

Creemos que es importante seguir explorando los modelos matemáticos y las técnicas de simulación numérica para entender mejor los sistemas dinámicos y predecir su comportamiento en diferentes áreas, como la biología, la física, la ingeniería y la economía.



M. A. Fernández Sanjuán (2016). Dinámica No Lineal, Teoría del Caos y Sistemas Complejos: una perspectiva histórica. *Rev. R. Acad. Cienc. Exact. Fís .Nat.* **Vol.** 109, N. 1?2, pp. 107-126.